



**Министерство науки и высшего образования Российской Федерации  
Федеральное государственное бюджетное образовательное учреждение  
высшего образования  
«Московский государственный технический университет  
имени Н.Э. Баумана  
(национальный исследовательский университет)»  
(МГТУ им. Н.Э. Баумана)**

ФАКУЛЬТЕТ

РОБОТОТЕХНИКА И КОМПЛЕКСНАЯ АВТОМАТИЗАЦИЯ (РК)

КАФЕДРА

РК6 «СИСТЕМЫ АВТОМАТИЗИРОВАННОГО ПРОЕКТИРОВАНИЯ»

## **Отчет по лабораторной работе**

**Исследование эффективности динамической экспоненциальной  
балансировки загрузки МВС с использованием имитационного  
моделирования**

Студент

\_\_\_\_\_

**Абидоков Р. Ш.  
РК6-21М**

Преподаватель

\_\_\_\_\_

**Карпенко А. П.**

2022 г.

## Постановка задачи исследования эффективности статистической балансировки загрузки МВС

Пусть  $X$  –  $n$ -мерный вектор параметров задачи. Положим, что  $X \in R^n$ , где  $R^n$  –  $n$ -мерное арифметическое пространство. Параллелепипедом допустимых значений вектора параметров назовем не пустой параллелепипед  $\Pi = \{X \mid x_i^- \leq x_i \leq x_i^+, i \in [1, n]\}$ , где  $x_i^-, x_i^+$  – заданные константы. На вектор  $X$  дополнительно наложено некоторое количество функциональных ограничений, формирующих множество  $D = \{X \mid g_i(X) \geq 0, j = 1, 2, \dots\}$ , где  $g_i(X)$  – непрерывные ограничивающие функции.

На множестве  $D_x = \Pi \cap D$  тем или иным способом (аналитически или алгоритмически) определена вектор-функция  $F(X)$  со значениями в пространстве  $R^m$ . Ставится задача поиска значения некоторого функционала  $\Phi(F(X))$ .

Положим, что приближенное решение поставленной задачи может быть найдено по следующей схеме:

*Шаг 1.* Покрываем параллелепипед  $\Pi$  некоторой сеткой  $\Omega$  (равномерной или неравномерной, детерминированной или случайной) с узлами  $X_1, X_2 \dots X_Z$ .

*Шаг 2.* В тех узлах сетки  $\Omega$ , которые принадлежат множеству  $D_x$ , вычисляем значения вектор функции  $F(X)$ .

*Шаг 3.* На основе вычисленных значений вектор функции  $F(X)$  находим приближенное значение функционала  $\Phi(F(X))$ .

Суммарное количество арифметических операций, необходимых для *однократного* определения принадлежности вектора  $X$  множеству  $D_x$  (т.е. суммарную вычислительную сложность ограничений  $x_i^- \leq x_i \leq x_i^+$  и ограничивающих функций  $g_i(X)$ ), обозначим  $C_g \geq 0$ . Далее в эксперименте будем полагать  $C_g = 0$ .

Неизвестную вычислительную сложность вектор-функции  $F(X)$  обозначим  $C_f(X)$ . Подчеркнем зависимость величины  $C_f$  от вектора  $X$ . Величина  $C_f(X)$  удовлетворяет, во-первых, очевидному ограничению  $C_f(X) \geq 0$ . Во-вторых, положим, что известно ограничение сверху на эту величину  $C_f^{max}$ , имеющее смысл ограничения на максимально допустимое время вычисления значения  $F(X)$ . Вычислительную сложность  $C_f(X_i)$  назовем вычислительной сложностью узла  $X_i, i \in [1, Z]$ .

Вычислительную сложность генерации сетки  $\Omega$  положим равной  $ZC_\Omega$ , а вычислительную сложность конечномерной аппроксимации функционала  $\Phi(F(X))$  – равной  $\zeta C_\Omega$ , где  $\zeta$  (дзета) – общее количество узлов сетки  $\Omega$ , принадлежащих множеству  $D_x$ .

Далее в эксперименте также будем полагать  $C_\Omega = 0, C_\Phi = 0$ .

В качестве вычислительной системы рассмотрим однородную МВС с распределенной памятью, состоящую из процессоров  $P_1, P_2 \dots P_N$  и *host*-процессора, имеющих следующие параметры:

- $t$  – время выполнения одной арифметической операции с плавающей запятой;
- $d = d(N)$  – диаметр коммуникационной сети;
- $l$  – длина вещественного числа в байтах;
- $t_s$  – латентность коммуникационной сети;
- $t_c$  – время передачи байта данных между двумя соседними процессорами системы без учета времени  $t_s$ .

В качестве меры эффективности параллельных вычислений используем ускорение

$$S_i(N) = \frac{T(1)}{T_i(N)}$$

где  $T(1)$  – время последовательного решения задачи на одном процессоре системы,  $T_i(N)$  – время параллельного решения той же задачи на  $N$  процессорах,  $i = 1, 2$  – номер метода балансировки.

### Статическая балансировка загрузки методом равномерной декомпозиции параллелепипеда П

Положим, что из числа  $Z$  узлов расчетной сетки  $\Omega$  множеству  $D_x$  принадлежит  $\zeta$  узлов  $\tilde{X}_1, \tilde{X}_2 \dots \tilde{X}_\zeta$ .

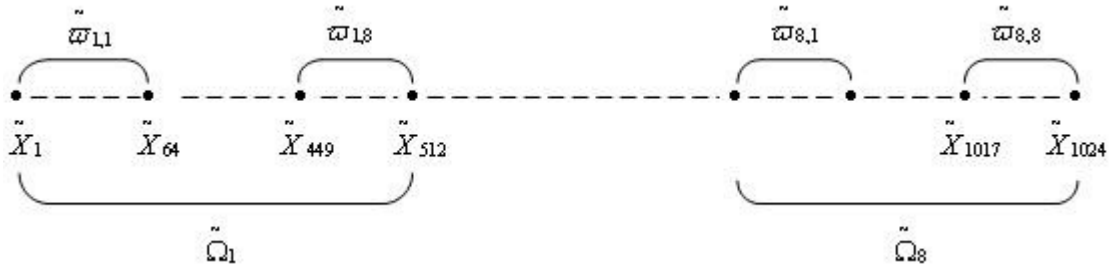
Суть экспоненциальной декомпозиции узлов передает следующая ее схема  $k$ -ой итерации (Рис. 1).

1) Если количество оставшихся необработанными  $\zeta_k$  узлов (из числа узлов  $\tilde{X}_1, \tilde{X}_2 \dots \tilde{X}_\zeta$ ) не превышает количество процессоров в системе, то включаем во множество узлов  $\tilde{\Omega}_k$  все  $\zeta_k$  необработанных узлов;  $\zeta_1 = \zeta$ .

2) Если количество оставшихся необработанными  $\zeta_k$  узлов превышает количество процессоров в системе, то среди этих узлов выделяем множество узлов  $\tilde{\Omega}_k$ , содержащее  $z_k = \left\lceil \frac{\zeta_k}{\rho} \right\rceil$  узлов, где  $\rho$  – коэффициент декомпозиции.

3) Множество узлов  $\tilde{\Omega}_k$  разбиваем на  $N$  подмножеств  $\overline{\omega_{k,j}}$ ,  $j \in [1:N]$ , , содержащих по  $s_k = \left\lceil \frac{z_k}{N} \right\rceil$  узлов.

Для простоты записи положим, что величины  $\zeta_k$  кратны  $\rho$ , так что все  $z_k = \frac{\zeta_k}{\rho}$  являются целыми. Положим также, что величины  $z_k$  кратны количеству процессоров  $N$  и поэтому все  $s_k = \frac{z_k}{N}$  также являются целыми.



**Рис. 1.** Схема экспоненциального разбиения узлов

Схема параллельного решения поставленной задачи с использованием динамической экспоненциальной балансировки загрузки имеет следующий вид:

*Шаг 1.* Host-процессор выполняет следующие действия:

- строит сетку  $\Omega$ ;
- среди всех узлов  $X_1, X_2 \dots X_Z$  сетки  $\Omega$  выделяет узлы  $\tilde{X}_1, \tilde{X}_2 \dots \tilde{X}_\zeta$ ;
- полагает  $k = 1$ ;  $\zeta_k = \zeta$ .

*Шаг 2.* Host-процессор выполняет следующие действия:

- если число не обработанных узлов  $\zeta_k$  не превышает количество процессоров в системе, то включает во множество  $\tilde{\Omega}_k$  все  $\zeta_k$  узлов;
- если число  $\zeta_k$  не обработанных узлов превышает количество процессоров  $N$ , то выделяет среди этих узлов множество узлов  $\tilde{\Omega}_k$ ;
- разбивает множество узлов  $\tilde{\Omega}_k$  на  $N$  подмножеств  $\overline{\omega_{k,j}}$ ,  $j \in [1:N]$ ;
- если множество узлов  $\tilde{\Omega}_k$  не исчерпано, то передает свободному процессору  $P_i$  координаты узлов первого из необработанных подмножеств  $\overline{\omega_{k,j}}$ ;
- если множество узлов  $\tilde{\Omega}_k$  исчерпано, то выполняет присваивания  $k = k + 1$ ,  $\zeta_k = \zeta_{k-1}(1 - \rho^{-1})$  и переходит к первому пункту данного шага.

*Шаг 3.* Процессор  $P_i$  выполняет следующие действия:

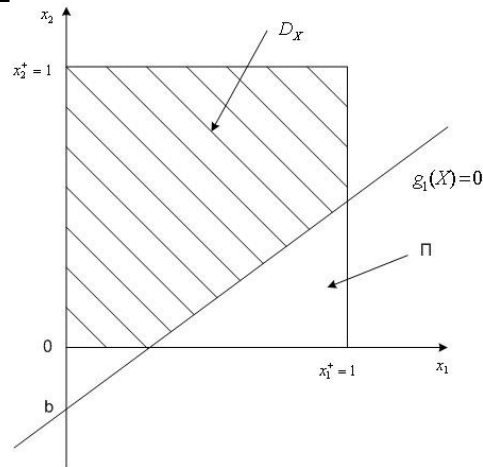
- принимает от host-процессора координаты узлов подмножества  $\overline{\omega_{k,j}}$ ;
- вычисляет во всех узлах подмножества  $\overline{\omega_i}$  значения вектор-функции  $F(x)$ ;
- посылает host-процессору вычисленные значения  $F(x)$ ;

*Шаг 4.* Если исчерпаны все узлы  $\tilde{X}_1, \tilde{X}_2 \dots \tilde{X}_\zeta$ , то host-процессор:

- посылает освободившемуся процессору  $P_i$  сообщение об окончании решения задачи;
- после получения всех вычисленных значений функции  $F(x)$  от всех процессоров вычисляет приближенное значение функционала  $\Phi(F(x))$ ;

## Экспериментальная часть

Рассмотрим двумерную задачу ( $n = 2$ ). Параллелепипед  $\Pi$  в этом случае представляет собой прямоугольник  $\Pi = \{X | x_i^- \leq x_i \leq x_i^+, i \in [1, 2]\}$ . Положим, что  $x_1^- = x_2^- = 0, x_1^+ = x_2^+ = 1$ , так что область  $\Pi$  является квадратом (Рис. 2).



**Рис. 2.** Расчетная область задачи

Множество  $D$  формируется с использованием одной ограничивающей функции  $g_1(X) \geq 0$ , то есть  $D = \{X | g_1(X) \geq 0\}$ . Примем, что эта функция линейна и проходит через заданную преподавателем точку плоскости  $O(x_1, x_2)$  с координатами  $(0, b)$ , как показано на Рис. 2.

Таким образом, уравнение этой функции имеет вид  $x_2 = ax_1 + b$ ,  $a > 0$ . В соответствии с номером варианта заданы значения параметров ограничивающей функции:  $a = 1.0$ ,  $b = -0.1$ . Общее количество узлов  $Z = 256 * 256 = 65536$ , количество попавших в область  $D_x$  узлов  $\zeta = 38971$  (принимая равным 39168, как ближайшим кратным 256).

Параметры моделируемой МВС:

$$N = 2, 4, 8, 16, 32, 64, 128, 256;$$

$$C_f = 10^2, 10^3, 10^4 \text{ с};$$

$$m = 100;$$

$$l = 8;$$

$$t = 10 * 10^{-9} \text{ с};$$

$$t_s = 50 * 10^{-6} \text{ с};$$

$$t_c = \frac{1}{80} * 10^{-6} \text{ с};$$

$$d(N) = 2\sqrt{N} - 1;$$

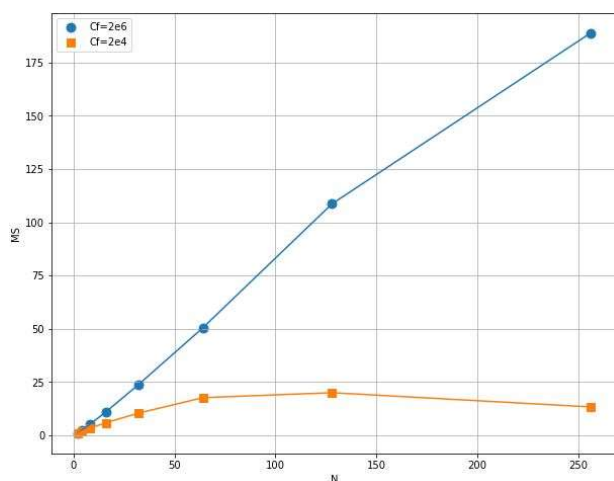
Полученные значения матожиданий и среднеквадратичных отклонений значений ускорений для целевой функции со сложностями, равномерно распределенными в интервалах  $C_f \in [0, C_f^{max}]$ ,  $C_f^{max} = 2 * 10^4, 2 * 10^6$ , приведены в Табл. 1, 2. Исходный код программы приведен в Приложении 1.

**Табл. 1.** Полученные результаты для различных  $N$  при  $r = 1$

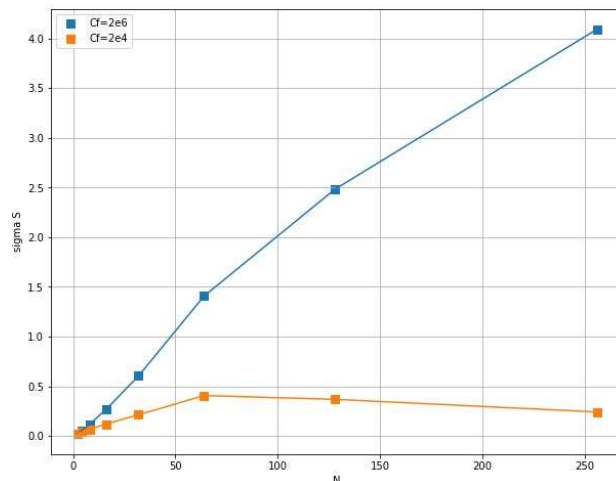
N	$S, C_f^{max} = 2 \cdot 10^4$	$S, C_f^{max} = 2 \cdot 10^6$
2	0.992	1.14
4	1.82	2.40
8	3.43	5.15
16	6.07	11.23
32	10.29	23.76
64	17.76	51.08
128	20.08	108.74
256	13.63	187.09

**Табл. 2.** Полученные результаты для различных  $N$  при  $r = 300$

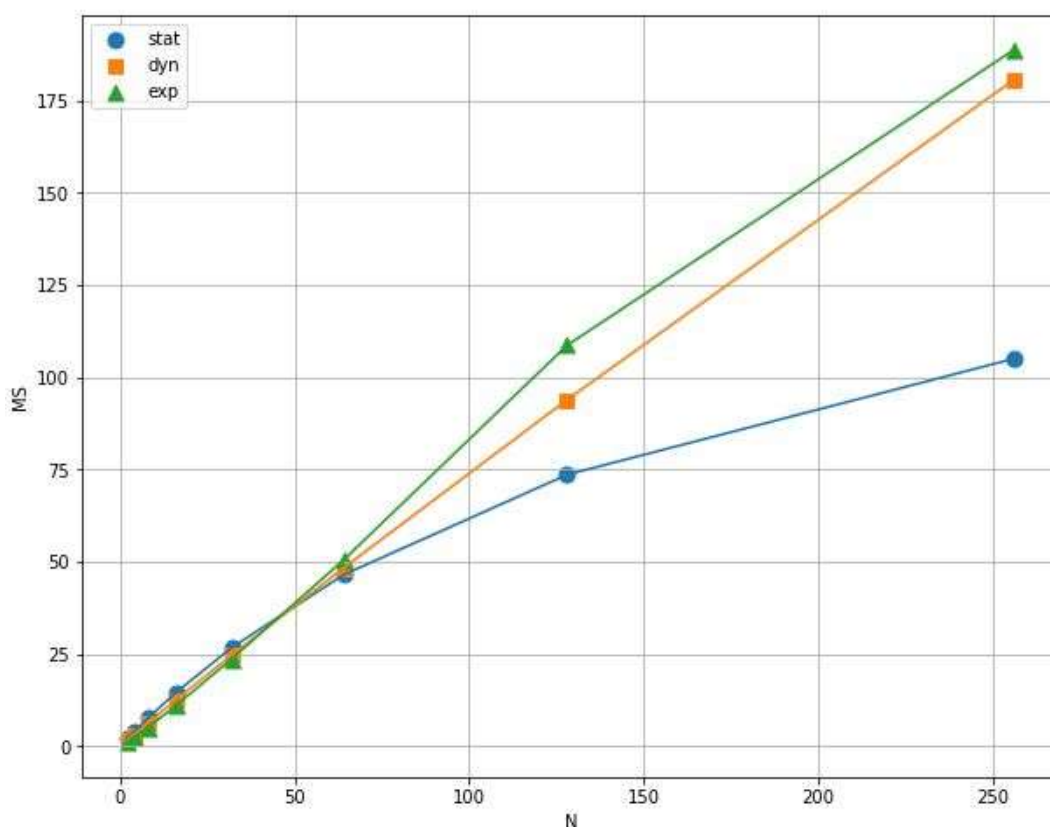
N	$S, C_f^{max} = 2 \cdot 10^4$		$S, C_f^{max} = 2 \cdot 10^6$	
	$M^*[S(N)]$	$\sigma^*[S(N)]$	$M^*[S(N)]$	$\sigma^*[S(N)]$
2	0.991	0.021	1.134	0.023
4	1.836	0.037	2.402	0.052
8	3.365	0.066	5.119	0.116
16	5.954	0.119	11.004	0.264
32	10.406	0.213	23.676	0.604
64	17.707	0.406	50.447	1.407
128	20.055	0.368	108.624	2.483
256	13.381	0.241	188.724	4.092



**Рис. 3.** График  $M^*[S(N)]$



**Рис. 4.** График  $\sigma^*[S(N)]$



**Рис. 5.** График  $M^*[S(N)]$  при  $C_f^{max} = 2 \cdot 10^6$  для различных методов балансировки

## Ответы на контрольные вопросы

1. Чем объясняется наблюдаемый характер зависимостей ускорений  $S(N)$  и оценки математического ожидания ускорения  $M^*[S(N)]$ ?

С ростом числа процессоров уменьшается количество полезных вычислений, совершаемых каждым процессором, при этом издержки на коммуникацию не уменьшаются – как следствие, уменьшается эффективность распараллеливания.

2. Чем объясняется наблюдаемый характер зависимости оценки математического ожидания ускорения  $M^*[S(N)]$  от величины  $C_f^{max}$ ?

С увеличением величины  $C_f^{max}$  уменьшается доля времени, затрачиваемого на коммуникацию между процессами, и увеличивается доля времени, затрачиваемого на вычисление функции в узлах, которое и делится между процессорами – как следствие, растет эффективность распараллеливания.

3. Чем объясняется наблюдаемый характер зависимости оценки среднего квадратичного отклонения  $\sigma^*[S(N)]$  от величины  $C_f^{max}$ ?

Поскольку форма функции распределения величины ускорения  $S(N)$  не зависит от числа процессоров  $N$ , отношение между математическим ожиданием  $M^*[S(N)]$  и средним квадратичным отклонением  $\sigma^*[S(N)]$  также не зависит от  $N$ . По этой причине график среднего квадратичного отклонения повторяет график математического ожидания.

## Исходный код программы

```
N_proc EQU 256
points_N EQU 39168
t_s EQU 50e-6
m_s EQU 100
l_s EQU 8
t_c EQU 0.125e-7
N_gr EQU 2
d_s EQU SQR(N_proc)-1
k_1 EQU 4
s_1 EQU (points_N/N_proc)/k_1
T_ik EQU 2

t EQU 1e-8
uniform_cf_par FUNCTION rn2,c2
0,0.0/1,2e4
uniform_cf_pos1 FUNCTION rn3,c2
0,0.0/1,2e4

proc_par STORAGE 256
proc_pos1 STORAGE 1

us VARIABLE p4/p3

tabl_s TABLE v$us,42,0.25,60

generate 1e8,100
split (N_proc - 1)

queue qhost1_par
seize host
depart qhost1_par
advance 5e-6,3e-6
release host

assign 1,s_1
assign 5,k_1

queue qproc_par
enter proc_par
depart qproc_par;

proc3 advance T_ik,1e-8

proc2 advance t,fn$uniform_cf_par
loop 1,proc2
assign 1,s_1
loop 5,proc3
leave proc_par

queue qhost2_par
seize host
depart qhost2_par
advance 5e-6,3e-6
release host
assemble (N_proc)
assign 3,m1

* последовательная обработка
mark 2
split (points_N - 1)

queue qhost1_pos1
seize host
depart qhost1_pos1
advance 5e-6,3e-6
release host

queue qproc_pos1
enter proc_pos1
depart qproc_pos1
advance t,fn$uniform_cf_pos1
leave proc_pos1

queue qhost2
seize host
depart qhost2
advance 5e-6,3e-6
release host

assemble points_N
assign 4,mp2

tabulate tabl_s

TERMINATE 1
```